



## تعیین گستره خرابی بریک-اوت پیرامون گمانه به کمک معیار موهر-کولمب و هوک-براؤن

علی لکی روحانی<sup>۱\*</sup>، جبار الدین عباسی<sup>۲</sup>

<sup>۱</sup>دانشیار دانشکده مهندسی عمران، دانشگاه زنجان، زنجان، ایران

<sup>۲</sup>کارشناسی ارشد، دانشکده مهندسی عمران، دانشگاه زنجان، زنجان، ایران

**تاریخچه داوری:**  
 دریافت: ۱۳۹۷-۰۸-۱۱  
 بازنگری: ۱۳۹۷-۱۰-۰۲  
 پذیرش: ۱۳۹۷-۱۱-۰۵  
 رائه آنلاین: ۱۳۹۷-۱۱-۱۷

**کلمات کلیدی:**  
 مدل ریاضی دو بعدی  
 خرابی بریک-اوٹ  
 معیار خرابی موهر-کولمب  
 معیار خرابی هوک-براؤن  
 رفتار الاستیک

**خلاصه:** با حفر گمانه در توده سنگ و در اعمق زیاد توزیع تنش پیرامون آن برهم خورده و در مجاورت آن تمرکز تنش ایجاد می شود. اگر تنش های برشی ایجاد شده ناشی از فشار تنش های برجا، در سنگ پیرامون گمانه از مقاومت آن بیشتر شوند، باعث رخداد نوعی از خرابی در پیرامون گمانه می گردد که به آن خرابی بریک-اوٹ گفته می شود. مشاهده شده که نواحی خرابی بریک-اوٹ در امتداد تنش اصلی کوچکتر ایجاد شده و توسعه پیدا می کنند. در این مقاله با فرض رفتار الاستیک توده سنگ، به حل تحلیلی خرابی بریک-اوٹ با استفاده از معیار خرابی موهر-کولمب و هوک-براؤن برای مدل های دو بعدی پرداخته می شود و گستره خرابی با استفاده از این دو معیار بدست می آید. مطابق با نتایج بدست آمده از مدل ریاضی، پارامترهای مؤثر در عمق و عرض بریک-اوٹ رخداده در پیرامون گمانه، وابسته به مشخصات مکانیکی مصالح موجود در معیار خرابی انتخاب شده و همچنین مقدار و نسبت تنش های برجا می باشند. در صورتیکه نسبت تنش های برجا یک باشد، خرابی از نوع بریک-اوٹ رخ نخواهد داد. همچنین با افزایش کیفیت سنگ، گستره خرابی بریک-اوٹ کمتر می شود و با کاهش مشخصات مکانیکی سنگ و افزایش مقدار و نسبت تنش های برجا محدوده خرابی بزرگ تر می شود.

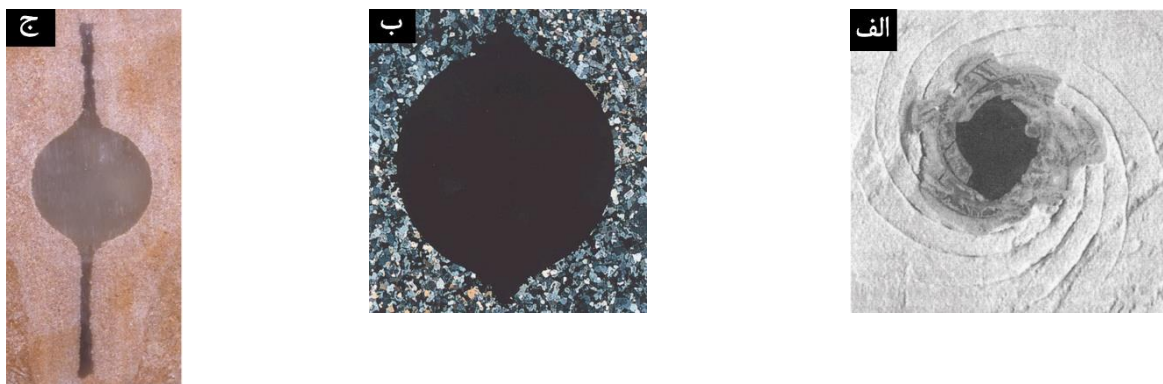
نقاطی از پیرامون گمانه که تمرکز تنش، از مقدار مقاومت سنگ بالاتر رود، در راستای تنش برجای افقی کمینه اتفاق می افتد [۲-۶]. از لحاظ ساختاری، بریک-اوٹ یک پدیده گسیختگی است که در اغلب سنگ ها دیده شده است. کاوش های زیاد انجام شده در یک چاه یا مجموعه ای از چاهها که در یک میدان تنش قرار دارند، نشان داده اند که بریک-اوٹ ها در یک راستای مشخص جهتگیری می کنند. امکان تعیین تنش های برجا برای هر چاه و بدست آوردن راستایی مشابه برای مجموعه ای از چاهها که در آن ها شکستگی وجود دارد، اندازه و جهت گسیختگی را جزو داده های ارزشمند بریک-اوٹ قرار داده است [۳ و ۷].

محققان دریافتند که شکل بریک-اوٹ در چاه های عمودی وابسته به تنش های برجای افقی بیشینه و کمینه است، لذا از روی هندسه

**۱- مقدمه**  
 محیط های سنگی که در اعمق زمین قرار دارند، همیشه تحت اثر تنش های برجای زیادی ناشی از وزن خود هستند. هنگامی که در این محیط ها حفاری انجام می شود، وضعیت تنش های برجای اطراف محل حفاری تا چندین برابر بزرگ ترین بعد حفاری دچار تغییر می شوند. وقتی این باز توزیع تنش اتفاق می افتد اثر ناهمگنی یا حفره به صورت تنش های بسیار زیاد در مرز حفاری به شکل تمرکز تنش خود را نشان می دهد. اگر تنش های ایجاد شده در این نقاط بیشتر از مقاومت گسیختگی سنگ باشند خرابی های کششی یا برشی ایجاد می گردد [۱]. یکی از این انواع خرابی، پدیده بریک-اوٹ می باشد و در

\* نویسنده عهده دار مکاتبات: rou001@znu.ac.ir





شکل ۱. مقاطع عرضی پدیده بریک-اوٹ گمانه الف- مارپیچی شکل، در ماسهسنگ مصنوعی [۱۲]، ب- به شکل گوش سگ در گرانیت وسترلی<sup>۱</sup> [۱۸] ج- شیاری شکل در ماسهسنگ آزتک<sup>۲</sup> [۱۹]

<sup>۱</sup>Westerly granite

<sup>۲</sup>Aztec

Fig. 1. Cross-sections of borehole breakout. A) Spiral-Shaped in artificial sandstone [12]. B) Dog-Ear-Shaped in Westerly granite [18]. C) Slot-Shaped in Aztec sandstone [19]

اطلاعاتی کمی، درباره تغییر تنش سنگ در راستای طول گمانه بدهد. همچنین او بیان کرد که شکستگی‌ها، عمود بر تنش اصلی بیشینه و در صفحه عمود بر محور چاه هستند [۲۰].

بل و گاف<sup>۸</sup> در سال ۱۹۷۹ بزرگ شدن شعاع چاه را از طریق شکستگی برشی توجیه کردند. تمرکز بریک-اوٹ‌ها در زاویه مشخص، نشان‌دهنده این بود که بریک-اوٹ نیازمند تنش‌های اصلی افقی نابرابر و مقاومت برشی اولیه محسوس در توده سنگ است [۲]. گاف و بل در سال ۱۹۸۲ برای تعیین وضعیت تنش در دیواره چاه، تئوری شکست ترد موهر-کولمب را بکار برdenد [۲۱].

زویک<sup>۹</sup> و همکاران در سال ۱۹۸۵ بر اساس مدلی که به‌وسیله گاف و بل در سال ۱۹۸۲ ارائه شده بود، روشی برای ارتباط بین تنش‌های برجا و بریک-اوٹ به دست آوردند. آن‌ها در این روش از راه حل کرش<sup>۱۰</sup> برای تنش‌های اطراف یک حفره دایره‌ای شکل در محیط الاستیک خطی و پیوسته ایزوتربوپ، تحت اثر میدان تنش دو بعدی استفاده کردند. سپس تنش‌های به دست آمده در معیار گسیختگی موهر-کولمب قرار داده شدند و درنهایت به روابطی برای ارتباط بین تنش‌های برجا و بریک-اوٹ دست یافتند [۳].

هیمیسن و ادل<sup>۱۱</sup> در سال ۱۹۷۲ نمونه‌های خشک استوانه‌ای

آن می‌توان جهت و اندازه تنش‌های برجا را تخمین زد. اگرچه این روش باید باحتیاط استفاده شود، چون پدیده‌های مختلفی مانند کاهش مقاومت فشاری سنگ به دلیل نوسان‌های دما یا ترکیب شیمیایی سیالات حفاری، یا هوازدگی دیواره گمانه، به خصوص در توده سنگ‌های ضعیف یا ضعیف سیماته شده، می‌توانند باعث توسعه یافتن بریک-اوٹ شوند. بریک-اوٹ‌ها همچنین می‌توانند به‌وسیله شدت حفاری (نیروی کم یا زیاد) و روش حفاری انتخاب شده تحت تأثیر قرار بگیرند [۸]. علاوه بر این، هنگامی که بریک-اوٹ‌ها برای تحلیل تنش‌ها بررسی می‌شوند، باید به‌وضوح از دیگر شکل‌های خرابی در چاه مانند آبشستگی<sup>۱</sup> و گسیختگی کلیدی<sup>۲</sup> شکل، متمایز شوند. شکل ناحیه خرابی بریک اوٹ در سه دسته اصلی مارپیچی شکل (به شکل پوسته پوسته شدگی پولکی<sup>۳</sup> یا یکنواخت)، ۷ شکل (به شکل گوش سگ<sup>۴</sup>) و شیاری شکل<sup>۵</sup> (به شکل سوراخ کرم<sup>۶</sup>) تقسیم می‌شوند (شکل ۱) [۹-۱۷، ۵].

لیمن<sup>۷</sup> در سال ۱۹۶۴ برای اولین بار بحث تنش عامل ایجاد بریک-اوٹ را مطرح کرد. او پوسته پوسته شدگی چاه را نتیجه تنش‌های زیاد فشاری دانست و بیان کرد که اندازه شکستگی در دیواره چاه می‌تواند

1 washout

2 key seat

3 flake-spalling

4 dog-ear-shaped

5 slot-shaped

6 wormhole

7 Leeman

8 Bell and Gough

9 Zoback

10 Kirsch

11 Haimson and Edl

گمانه EXP-۱، پوهانگ کره پرداختند. برای ساختن بهترین مدل تنش تخمینی در این ناحیه از اندازه‌گیری‌های قبلی نقشه تنش جهانی و داده میدانی مدرن پنیسولای کره<sup>۵</sup> استفاده کردند. سپس داده‌های جدید حاصل شده از شکست هیدرولیکی و مشاهدات گمانه را برای تعیین اندازه و جهت تنش‌های افقی به مدل اضافه کردند. نتایج نشان داد که جهت تنش افقی بیشینه در مقایسه با جهت‌های گزارش شده به وسیله نقشه تنش جهانی در کره جنوبی، بیش تر از ۴۰ درجه در جهت عقربه‌های ساعت انحراف دارد.<sup>[۲۴]</sup>

زنگ<sup>۶</sup> و همکاران در سال ۲۰۱۷ به وسیله مدل سازی المان محدود در شرایط پوروالاستیک، بریک-اوْت را باهدف اندازه‌گیری تنش بر جا بررسی کردند. آن‌ها دو گام را برای تعیین تنش بر جا به وسیله تحلیل معکوس انجام دادند. اول، برای اندازه‌گیری بریک-اوْت گمانه با استفاده از مدل سازی المان محدود داده‌هایی را به دست آوردند، سپس داده‌های به دست آمده را در شبکه عصبی مصنوعی وارد کردند تا ارتباط بین تنش بر جا و بریک-اوْت گمانه را پیدا کنند. دوم، یک اندازه خاص از بریک-اوْت گمانه به شبکه عصبی مصنوعی داده شد تا تنش بر جا به دست آید. نتایج نشان داد که تحلیل معکوس بر اساس مدل سازی المان محدود بریک-اوْت گمانه و شبکه عصبی مصنوعی می‌تواند در تعیین تنش‌های بر جا مؤثر باشد.<sup>[۲۵]</sup>

خطیبی و همکاران در سال ۲۰۱۸ به ارزیابی معیار گسیختگی سهمی وار تک‌پارامتره در تحلیل پایداری چاه پرداختند. در این مطالعه، اول، معیار گسیختگی سهمی وار تک‌پارامتره به وسیله بازتولید داده‌های مقاومت فشاری تک‌محوری در آزمایشات سه‌محوری ارزیابی شدند و سپس نتایج با آزمایشات تک‌محوری مقایسه شدند. نتایج نشان می‌داد که معیار آن‌ها مقاومت سنگ در یک فشار محدود کننده خیلی کم را دست بالا محاسبه می‌کند. پس به کار بردن آن در فشار محدود کننده صفر یا خیلی کم مناسب نیست. در معیار آن‌ها محدوده بریک-اوْت در نواحی نزدیک‌تر به سطح زمین به اشتباه دارای مقادیر مقاومت فشاری تک‌محوری خیلی زیاد هستند که حاصل طراحی چاه را چهار مشکل می‌کنند.<sup>[۲۶]</sup>

هدف این مقاله بدست آوردن محدوده خرابی برشی ناشی از فشار یا خرابی بریک-اوْت، پیرامون یک گمانه بر اساس دو معیار خرابی معروف در سنگ یعنی معیار موهر-کولمب و معیار هوک و براون

سنگ‌های ماسه‌سنگ برئا<sup>۱</sup> را زیر بارگذاری افقی متقارن و مستقل از تنش عمودی در سلول سه‌محوری آزمایش کردند. مشاهده شده با افزایش فشار مخصوص شده، محدوده بریک-اوْت افزایش می‌یابد [۲۲]. ماستین در سال ۱۹۸۴ نوعی سنگ مشابه را تحت بارگذاری تک‌محوری قرارداد و مهم‌ترین مکانیزم توسعه بریک-اوْت گمانه، یعنی پوسته‌پوسته شدن را مشاهده کرد.

لی<sup>۲</sup> و همکاران در سال ۲۰۱۵ یک سری آزمایش‌های حفاری را روی دو نوع ماسه‌سنگ آرکوزی تینینو و تبلراک<sup>۳</sup> تحت تنش سه‌محوره انجام دادند، سپس با کمک آزمایش‌های آزمایشگاهی میکروپارامترهای موردنیاز برای مدل عددی المان مجزا را کالیبراسیون کردند. آن‌ها نشان دادند که مدل سازی المان مجزا قادر به شبیه‌سازی آسیب‌های میکروسکوپی و تکرار منطقه موضعی آسیب‌دیده در آزمایشگاه است [۱۷].

منصوری‌زاده و همکاران در سال ۲۰۱۶ به تحلیل پایداری چاه و پیش‌بینی فشار بریک-اوْت در چاه‌های عمودی و مایل با استفاده از معیارهای گسیختگی در یک مطالعه موردی پرداختند. در این مقاله آن‌ها یک مدل ژئومکانیکی را با استفاده از چند داده پتروگرافی، میدانی و آزمایشگاهی بدست آوردند. این داده‌ها برای ایجاد ساختاری مفید در ارزیابی تنش‌های بر جا و همچنین تنش‌های ناشی از تنش‌های بر جا به کار بردند. سه معیار گسیختگی برشی موهر-کولمب، موگی-کولمب و هوک-براون در پیش‌بینی فشار بریک-اوْت و نتایج به دست آمده از نمودار قطرسنج چهاربازوه چاه مورد استفاده قرار گرفتند. آن‌ها یافتند که معیار گسیختگی هوک-براون با ثابت‌های بهینه، بهترین پیش‌بینی از فشار بریک-اوْت را برای این نمونه مورد مطالعه نتیجه می‌دهد. همچنین تحلیل‌های آن‌ها نشان داد که اثر پارامتر  $m$  روی فشار بریک-اوْت دارای اهمیت زیادی است. در نتیجه تعیین دقیق این ثابت در طول گمانه برای سنگ‌های مختلف مهم است.<sup>[۲۳]</sup>

کیم<sup>۴</sup> و همکاران در سال ۲۰۱۷ به تخمین یکپارچه تنش بر جا به وسیله مطالعه شکست هیدرولیکی، مشاهدات بریک-اوْت گمانه و گسیختگی‌های ناشی شده از آن و همچنین مدل سازی عددی در

1 Berea sandstone

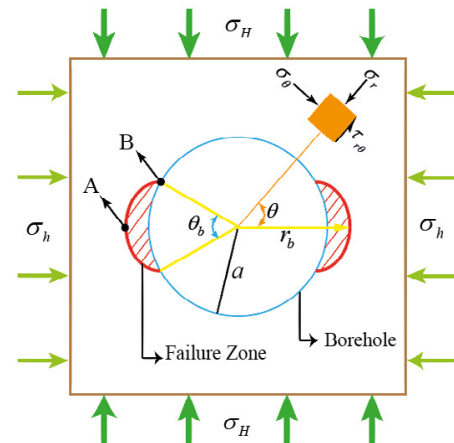
2 Lee

3 Tenino and Tablerock

4 Kim

که در این رابطه  $r$  فاصله از مرکز حفره و  $\theta$  زاویه نسبت به افق است.

محدوده خرابی بریک- اوت شامل نقاطی است که تنش برشی در آن نقاط کوچکتر یا مساوی مقاومت برشی سنگ مطابق با معیار خرابی انتخاب شده باشد، بنابراین با تلفیق روابط کوشش با معیار خرابی انتخاب شده می‌توان نقاط روی مرز یا کمان گسیختگی را بدست آورد، کمانی که نقاط روی آن و داخل آن بیانگر محدوده خرابی است. برای هر حالت تنش و مشخصات مکانیکی مصالح یک جفت محدوده گسیختگی متقاضی عرضی در راستای تنش اصلی کوچکتر بدست می‌آید. مطابق با شکل ۲ هر کمان گسیختگی دارای دو نقطه مشخصه می‌باشد، نقطه A با مختصات قطبی  $(r_b, 0^\circ)$  بیانگر عمق خرابی بریک- اوت در امتداد افق و نقطه B با مختصات قطبی  $(a, \frac{\theta_b}{2})$  بیانگر نقطه‌ای بر روی کمان گسیختگی که دارای بیشترین عرض می‌باشد.



شکل ۲. تصویر شماتیک محدوده خرابی بریک- اوت و عمق و عرض زاویه‌ای آن

Fig. 2. Schematic figure of the breakout zone and its depth and width

می‌باشد. تحلیل تئوری بر اساس معیار موهر- کولمب قبل از تنش زوبک و همکارانش انجام شده است [۳] و در این مقاله با جزئیات بیشتری به این مدل پرداخته می‌شود. سپس به تحلیل تئوری بر اساس معیار هوک- براون پرداخته شده و روابط مرتبط با ناحیه خرابی بدست آورده می‌شوند. برای هر دو مدل، نواحی خرابی بر اساس پارامترهای هر معیار ترسیم می‌گردد و در بخش آخر مقاله دو معیار مورد مقایسه قرار می‌گیرند.

### ۳- تحلیل بریک- اوت با استفاده از معیار موهر- کولمب

معیار موهر- کولمب از معیارهای تجربی- آزمایشگاهی، بر پایه مدل دوم شکست (برش) می‌باشد. در این معیار رابطه‌ای خطی بین مقاومت برشی سنگ و تنش عمودی وارد بر آن در صفحه شکست حاکم است که به صورت زیر بیان می‌شود [۲۷]:

$$|\tau| = \tau_0 + \sigma \tan \phi \quad (4)$$

در اینجا،  $\tau$ ، تنش برشی؛  $\sigma$ ، تنش قائم؛  $\phi$ ، زاویه اصطکاک داخلی سنگ و  $\tau_0$ ، چسبندگی سنگ هستند.  
برای بدست آوردن کمان گسیختگی بریک- اوت مطابق با توضیحات ارائه شده در قسمت قبل، دایره موهر تنشی را مماس بر خط گسیختگی موهر- کولمب قرار داده و در معادله حاصل  $\tau$  به صورت زیر استخراج می‌شود:

$$\tau_0 = \left(1 + \mu^2\right)^{1/2} \left( \left(\frac{\sigma_\theta - \sigma_r}{2}\right)^2 + \tau_{r\theta}^2 \right)^{1/2} - \mu \left( \frac{\sigma_\theta + \sigma_r}{2} \right) \quad (5)$$

در اینجا  $\mu = \tan(\phi)$  در نظر گرفته شده است.

با جایگذاری مختصات نقطه B در روابط کوشش (رابطه ۱ تا ۳) خواهیم داشت:

### ۴- مدل تئوری، فرضیات و روند تحلیل

با فرض رفتار الاستیک برای محیط سنگی دوبعدی، گمانهای به شعاع a تحت اثر تنش‌های برجای افقی کوچکتر و بزرگتر  $\sigma_H$  و  $\sigma_h$  مطابق با شکل ۲ در نظر گرفته می‌شود. در هر نقطه پیرامون گمانه سه تنش شعاعی  $\sigma_r$ ، مماسی  $\sigma_\theta$  و برشی  $\tau_{r\theta}$  مطابق با روابط کوشش به صورت زیر محاسبه می‌شوند [۲۷]:

$$\sigma_r = \frac{1}{2} (\sigma_H + \sigma_h) \left( 1 - \frac{a^2}{r^2} \right) - \frac{1}{2} (\sigma_H - \sigma_h) \left( 1 - 4 \frac{a^2}{r^2} + 3 \frac{a^4}{r^4} \right) \cos 2\theta \quad (1)$$

$$\sigma_\theta = \frac{1}{2} (\sigma_H + \sigma_h) \left( 1 + \frac{a^2}{r^2} \right) + \frac{1}{2} (\sigma_H - \sigma_h) \left( 1 + 3 \frac{a^4}{r^4} \right) \cos 2\theta \quad (2)$$

$$\tau_{r\theta} = \frac{1}{2} (\sigma_H - \sigma_h) \left( 1 + 2 \frac{a^2}{r^2} - 3 \frac{a^4}{r^4} \right) \sin 2\theta \quad (3)$$

$$\sigma_r = 0 \quad (6)$$

$$d = \frac{1}{2} \begin{bmatrix} (1+\mu^2)^{\frac{1}{2}} (-1+3\rho^2 - 3\rho^4) \\ -\mu(1-2\rho^2) \end{bmatrix} \quad (17)$$

با معادل هم گذاشتن رابطه ۹ و رابطه ۱۵ سه رابطه اصلی زیر برای تنش‌های برجا بر حسب مختصات نقاط A و B یعنی  $\theta_b$  و  $B$  یعنی  $\theta_b$  نسبت  $\rho = a/r_b$  و خصوصیات مکانیکی مصالح  $\tau_0$  و  $\phi$  بدست می‌آید. (همانطور که پیشتر اشاره شد، این روابط به وسیله زوبک و همکاران بدست آمده است):

$$\sigma_H = \frac{\tau_0(d-b)}{ad-bc} \quad (18)$$

$$\sigma_h = \frac{\tau_0(a-c)}{ad-bc} \quad (19)$$

$$k = \frac{\sigma_H}{\sigma_h} = \frac{d-b}{a-c} \quad (20)$$

همانطور که در رابطه ۲۰ مشاهده می‌شود نسبت تنش‌ها مستقل از پارامتر  $\tau_0$  می‌باشد.  
اگر تنش‌های برجا مشخص باشند و هدف بدست آوردن عمق و عرض ناحیه گسیختگی ب瑞ک-اوٹ باشد با انجام قدری عملیات ریاضی دو رابطه زیر را می‌توان بدست آورد و مورد استفاده قرار داد که در این روابط  $r_b, \theta_b$  تابع تنش‌های برجا، مشخصات مکانیکی مصالح و شعاع گمانه هستند:

$$\theta_b = \cos^{-1} \left( \frac{2\tau_0((1+\mu^2)^{\frac{1}{2}} - \mu)^{-1}}{[2(\sigma_H - \sigma_h)]} \right) \quad (21)$$

$$r_b = a \times \left[ \frac{\left( -y_0 + ((y_0)^2 - 4 \times x_0 \times z_0)^{\frac{1}{2}} \right)^{\frac{1}{2}}}{\times ((2 \times x_0)^{-1})} \right] \quad (22)$$

$$x_0 = \left[ 1.5(1+\mu^2)^{\frac{1}{2}} \right] \times (\sigma_H) - \left[ 1.5(1+\mu^2)^{\frac{1}{2}} \right] \times (\sigma_h) \quad (23)$$

$$\sigma_\theta = \sigma_H + \sigma_h + 2(\sigma_H - \sigma_h) \cos \theta_b \quad (7)$$

$$\tau_{r\theta} = 0 \quad (8)$$

اکنون با جایگذاری این روابط در رابطه ۵،  $\tau$  بر حسب  $\theta_b$  بدست می‌آید:

$$\tau_0(a, \theta_b) = \sigma_H \times a + \sigma_h \times b \quad (9)$$

که در این رابطه:

$$a = \frac{1}{2} \left( (1+\mu^2)^{\frac{1}{2}} - \mu \right) (1 + 2 \cos \theta_b) \quad (10)$$

$$b = \frac{1}{2} \left( (1+\mu^2)^{\frac{1}{2}} - \mu \right) (1 - 2 \cos \theta_b) \quad (11)$$

همین مراحل برای نقطه A نیز تکرار می‌شود، ابتدا مختصات نقطه A ( $r_b, 0^\circ$ ) با استفاده از روابط کرش (رابطه ۱ تا ۳) بدست آورده می‌شود: ( $\rho = a/r_b$ )

$$\sigma_r = \frac{1}{2} (\sigma_H + \sigma_h) (1 - \rho^2) - \frac{1}{2} (\sigma_H - \sigma_h) (1 - 4\rho^2 + 3\rho^4) \quad (12)$$

$$\sigma_\theta = \frac{1}{2} (\sigma_H + \sigma_h) (1 + \rho^2) + \frac{1}{2} (\sigma_H - \sigma_h) (1 + 3\rho^4) \quad (13)$$

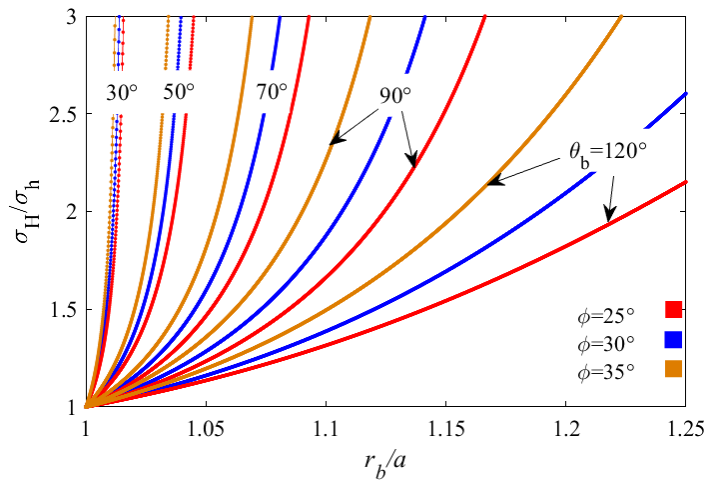
$$\tau_{r\theta} = 0 \quad (14)$$

با جایگذاری این مختصات در رابطه ۵،  $\tau$  بر حسب  $r_b$  بدست می‌آید:

$$\tau_0(r_b, 0^\circ) = \sigma_H \times c + \sigma_h \times d \quad (15)$$

که در این رابطه:

$$c = \frac{1}{2} \left[ \begin{array}{l} (1+\mu^2)^{\frac{1}{2}} (1 - \rho^2 + 3\rho^4) \\ -\mu (1 + 2\rho^2) \end{array} \right] \quad (16)$$



شکل ۳. تغییرات نسبت تنش‌های برجا با نسبت  $r_b/a$  و عرض  $\theta_b$  برای سه زاویه اصطکاک مختلف (بر اساس معیار خرابی موهر-کولمب)

Fig. 3. The variation of the in-situ stresses ratio with  $r_b/a$  and  $\theta_b$  for three different friction angles (based on Mohr-Coulomb Failure criterion)

جدول ۱. مشخصات مکانیکی و تنش‌های برجا مختلف در سه حالت مختلف

Table 1. Mechanical and in-situ stresses ratio parameters for three different cases

حالات مختلف	$\tau_0$ (MPa)	$\phi$ (°)	$\sigma_h$ (MPa)	$\sigma_H/\sigma_h$
۱	۴	۳۰°	۶ و ۵، ۴، ۳	۳ و ۲/۵، ۲، ۱/۵
۲	۴	۴۵° و ۳۵°، ۲۵°	۵	۳ و ۲/۵، ۲، ۱/۵
۳	۵ و ۴، ۳	۳۰°	۵	۳ و ۲/۵، ۲، ۱/۵

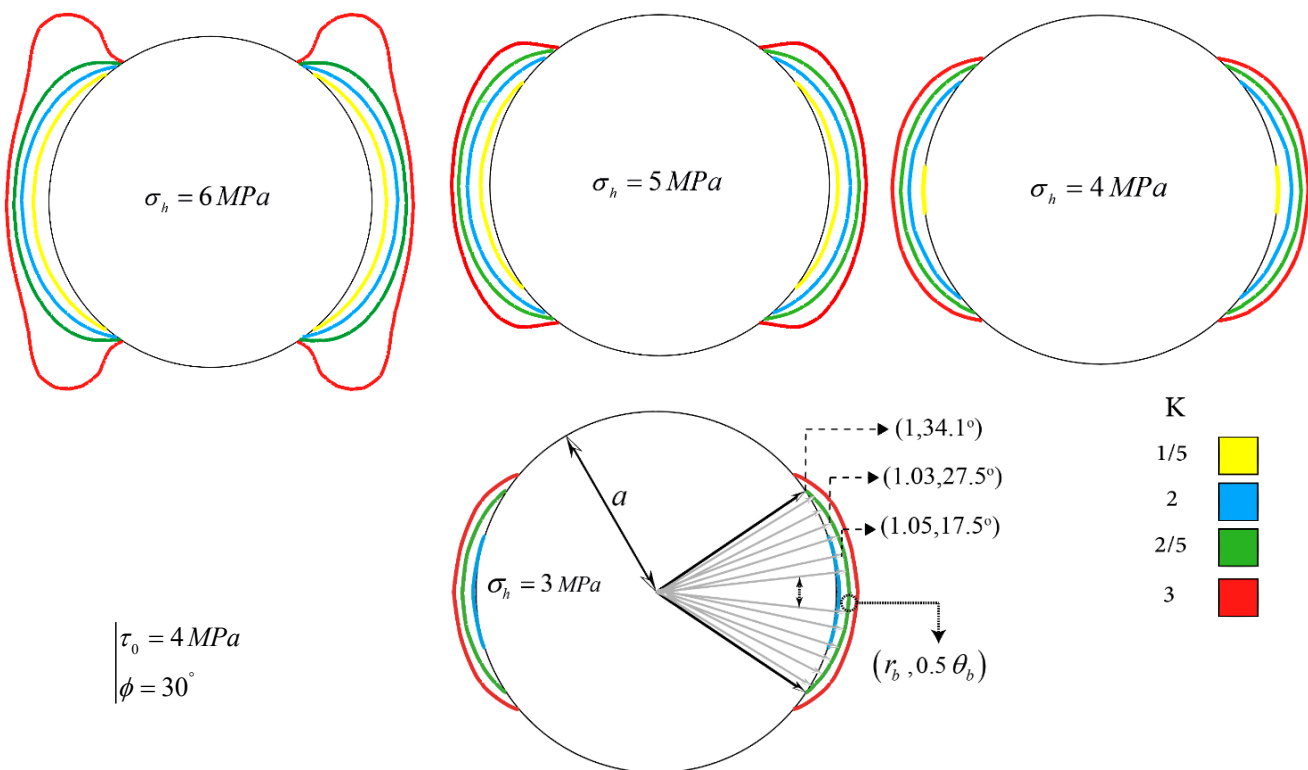
### ۱-۳- اثر تنش‌های برجا و مشخصات مکانیکی سنگ بر روی نواحی خرابی بریک-اویت بر اساس معیار موهر-کولمب

در این بخش شکل گرافیکی نواحی خرابی بریک-اویت رخ داده در پیرامون گمانه برای مشخصات مختلف تأثیرگذار در این پدیده نمایش داده می‌شود. مشخصات انتخابی برای مقادیر تنش‌های برجا، چسبندگی و زاویه اصطکاک داخلی سنگ مطابق با جدول ۱ می‌باشد. تحلیل تئوری مطابق با مدل تئوری آورده شده در قسمت قبل می‌باشد. در شکل های ۴، ۵ و ۶ که در ادامه آورده شده است، هر کمان مشخص‌کننده مرز خرابی رخ داده برای هر مدل می‌باشد. به منظور مقایسه، نواحی خرابی نشان داده شده با شعاع گمانه دارای یک مقیاس بوده و همچنین این مقیاس در همه شکل‌ها یکسان است. مطابق با نتایج نمایش داده شده در شکل ۵، برای مشخصات مکانیکی ثابت زمین، در هر یک از مدل‌ها با افزایش نسبت تنش‌های

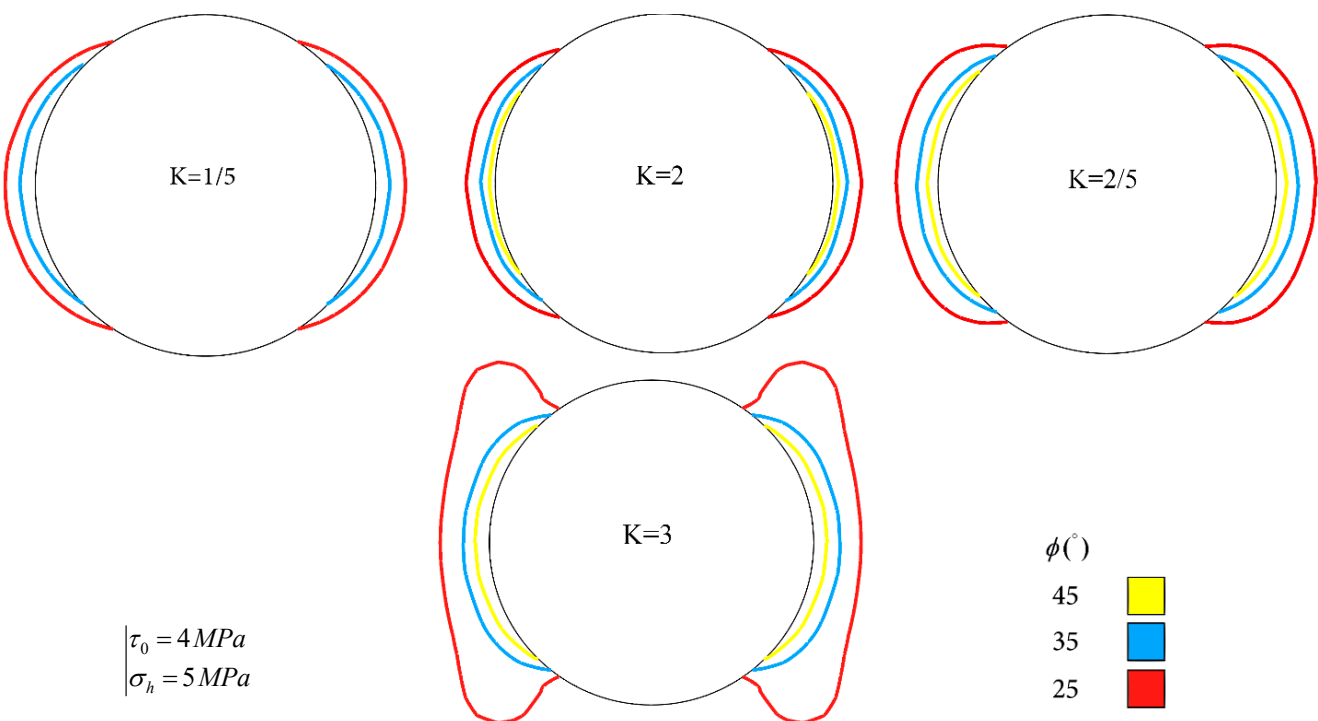
$$y_0 = \left[ -0.5(1+\mu^2)^{\frac{1}{2}} - \mu \right] (\sigma_H) + \left[ 1.5(1+\mu^2)^{\frac{1}{2}} + \mu \right] (\sigma_h) \quad (24)$$

$$z_0 = \left[ 0.5(1+\mu^2)^{\frac{1}{2}} - 0.5\mu \right] (\sigma_H) + \left[ -0.5(1+\mu^2)^{\frac{1}{2}} - 0.5\mu \right] (\sigma_h) - \tau_0 \quad (25)$$

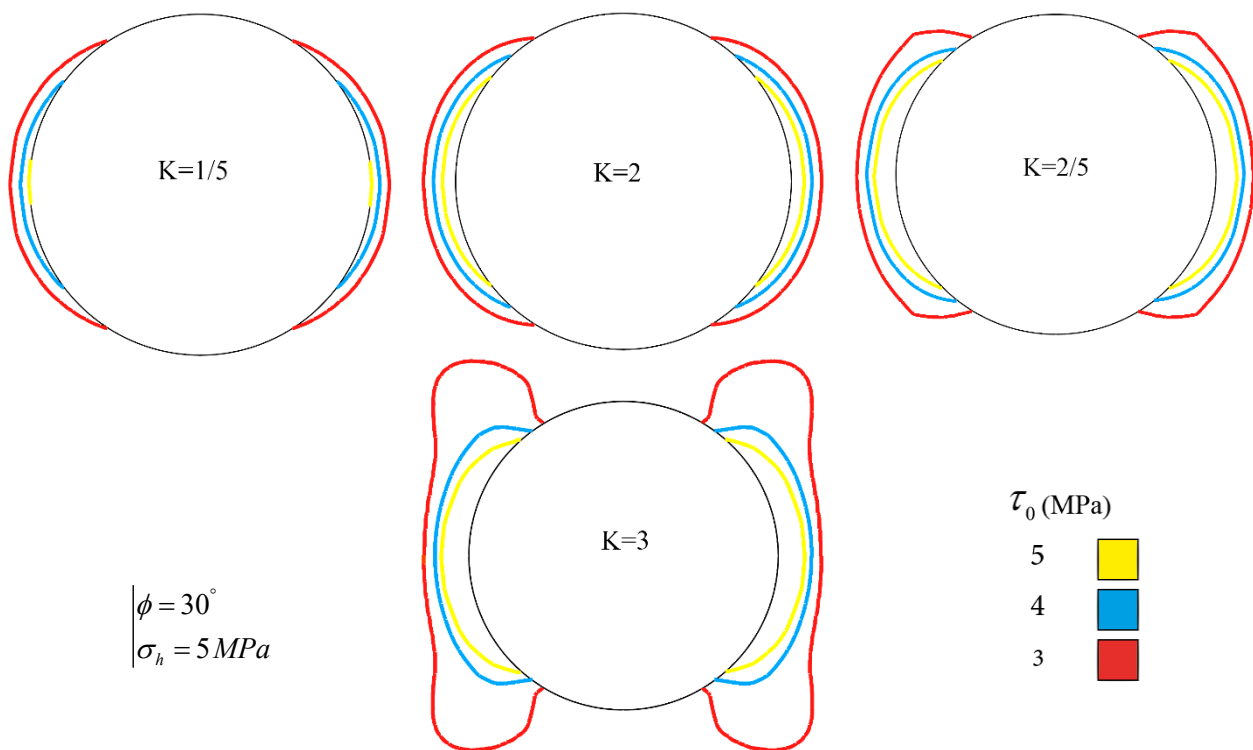
شکل ترسیمی رابطه ۲۰ در ادامه آورده شده است. در شکل ۳ نمودارهای نسبت تنش‌های برجا، در مقابل  $r_b/a$ ,  $\theta_b$  برای سه زاویه اصطکاک مختلف ترسیم شده است (رابطه ۲۰). همانطور که در این شکل مشاهده می‌شود زمانیکه نسبت تنش‌های برجا نزدیک به یک باشد محدوده گسیختگی بریک-اویت کوچک و با افزایش این نسبت محدوده گسیختگی عمیق‌تر و عریض‌تر می‌شود.



شکل ۴. نمایش محدوده خرابی بریک-اوتن برای مقادیر مختلف تنش‌های برجا و نسبت آن‌ها (مشخصات مکانیکی زمین ثابت است)  
Fig. 4. The breakout failure zone for the different values of the in-situ stress ratio (The mechanical properties of the ground are considered fixed)



شکل ۵. نمایش محدوده خرابی بریک-اوتن برای مقادیر مختلف نسبت تنش‌های برجا و زاویه اصطکاک (چسبندگی و تنش افقی کوچک‌تر، ثابت هستند)  
Fig. 5. The breakout failure zone for the different values of the ratio of in-situ stress and friction angle (cohesion and minimum horizontal stress are considered fixed)



شکل ۶ . نمایش محدوده خرابی بریک- اوت برای مقادیر مختلف نسبت تنش‌های برجا و چسبندگی (زاویه اصطکاک داخلی سنگ و تنش افقی کوچک‌تر، ثابت هستند)

Fig. 6. The breakout failure zone for the different values of the ratio of in-situ stress and cohesion (friction angles and minimum horizontal stress are considered fixed)

نیاز داشت و به تدریج باعث تکمیل‌تر شدن آن گردید، آخرین تغییری که در سال ۲۰۰۲ به وسیله هوک و همکاران ارائه شد به صورت زیر می‌باشد [۲۸]:

$$\sigma_1 = \sigma_3 + \sigma_{ci} \left( \frac{m_b \sigma_3}{\sigma_{ci}} + s \right)^a \quad (26)$$

$$m_b = m_i e^{\left( \frac{GSI - 100}{28 - 14D} \right)} \quad (27)$$

$$s = e^{\left( \frac{GSI - 100}{9 - 3D} \right)} \quad (28)$$

$$a = \frac{1}{2} + \frac{e^{\left( \frac{-GSI}{15} \right)} - e^{\left( \frac{20}{3} \right)}}{6} \quad (29)$$

در اینجا،  $\sigma_1$ ، تنש اصلی بیشینه؛  $\sigma_3$ ، تنش اصلی کمینه؛  $\sigma_{ci}$ ، مقاومت فشاری تکمحوره سنگ بکر؛ D، فاکتور وابسته به درجه دست‌خوردگی؛ GSI، شاخص مقاومت زمین‌شناختی؛ همچنین  $m_b$ ، پارامتر سنگ بکر، s و a، پارامترهای وابسته به میزان شکستگی توده سنگ هستند.

برجای محدوده خرابی بریک- اوت گستردگر می‌شود. به غیر از نسبت مقادیر تنش‌های برجا نیز بسیار مهم هستند به نحوی که در شکل ۴ (تنش برجای کمینه ۶ MPa و نسبت ۳) مشاهده می‌شود که با افزایش تنش‌های برجا شکل گسیختگی از حالت کمان خارج می‌شود و محدوده خرابی به سمت بالا و پایین نیز گسترش می‌پابد که بیانگر تمرکز تنش‌های برجای در این نواحی است. در مدل‌های شکل‌های ۵ و ۶ مشاهده می‌شود که اگرچه با افزایش نسبت تنش‌های برجا محدوده خرابی بزرگ‌تر شده اما این تأثیر در مدل‌هایی که دارای زاویه اصطکاک و چسبندگی کمتری هستند، بسیار بیش‌تر است.

#### ۴- تحلیل بریک- اوت با استفاده از معیار هوک- براون

معیار غیرخطی هوک- براون از معیارهای تجربی- آزمایشگاهی است که در سال ۱۹۸۰ ارائه شد. این معیار در اصل برای تخمین مقاومت توده سنگ‌های سخت توسعه یافت و به دلیل عدم وجود جایگزین‌های مناسب، برای انواع توده سنگ‌ها از جمله سنگ‌های با کیفیت پایین نیز بکار برده شد. این کاربردها به تغییر معیار اصلی

$$\beta = \sigma_H + \sigma_h \times \alpha \quad (32)$$

که در این رابطه :

$$\alpha = (1 - 2 \cos \theta_b) / (1 + 2 \cos \theta_b) \quad (33)$$

$$\beta = \sigma_c / (1 + 2 \cos \theta_b) \quad (34)$$

اکنون با جایگذاری روابط ۱۲ تا ۱۴ مربوط به مختصات نقطه A در رابطه ۳۱، روابط زیر به دست می‌آید.

$$a_1^2 \times \sigma_H^2 + b_1^2 \times \sigma_h^2 + 2a_1 b_1 \sigma_H \sigma_h = m \sigma_c c_1 \sigma_H + m \sigma_c d_1 \sigma_h + \sigma_c^2 \quad (35)$$

که در این رابطه:

$$a_1 = 1 - \rho^2 + 3\rho^4 \quad (36)$$

$$b_1 = -1 + 3\rho^2 - 3\rho^4 \quad (37)$$

$$c_1 = 0.5 \times (3\rho^2 - 3\rho^4) \quad (38)$$

$$d_1 = 0.5 \times (2 - 5\rho^2 + 3\rho^4) \quad (39)$$

با تلفیق رابطه ۳۵ با رابطه ۳۲ و جایگذاری  $\sigma_H$  بر حسب تعداد متغیر مجھول معادله کاهش می‌یابد و معادله درجه دوم زیر بر حسب  $\sigma_h$  به دست می‌آید:

$$\sigma_h^2 e_1 + \sigma_h f_1 + g_1 = 0 \quad (40)$$

که در این رابطه ضرایب  $e_1$  و  $f_1$  و  $g_1$  به ترتیب عبارتند از:

$$e_1 = a_1^2 \alpha^2 + b_1^2 - 2a_1 b_1 \alpha \quad (41)$$

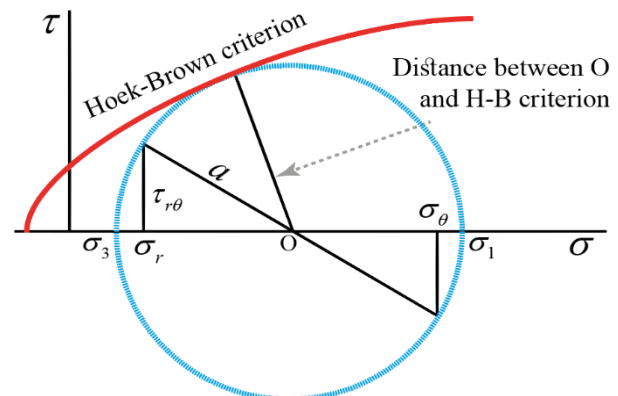
$$f_1 = -2a_1^2 \alpha \beta + 2a_1 b_1 \beta + m \sigma_c c_1 \alpha - m \sigma_c d_1 \quad (42)$$

$$g_1 = a_1^2 \beta^2 - \sigma_c^2 - m \sigma_c c_1 \beta \quad (43)$$

اگر نسبت مقادیر تنش‌های برجا مشخص باشند و هدف بدست آوردن عمق و عرض بریک-اوتن باشد، این مقادیر را می‌توان از دو رابطه ۳۲ و ۴۰ به صورت زیر استخراج کرد:

$$\theta_b = \cos^{-1} \left( \frac{[\sigma_c - (\sigma_H + \sigma_h)] / 2(\sigma_H - \sigma_h)} \right) \quad (44)$$

$$r_b = a \times X^{-0.5} \quad (45)$$



شکل ۷. شکل شماتیک معیار خرابی هوک-براؤن در فضای  $\tau - \sigma$  و  
دایره تنش موهر مماس شده بر آن

**Fig. 7. Schematic figure of the Hoek-Brown failure criterion in  $\tau - \sigma$  space and Mohr circle tangent to the failure criterion**

معیار خرابی هوک-براؤن برای سنگ بکر شکل ساده شده رابطه ۲۶ و به صورت زیر می‌باشد:

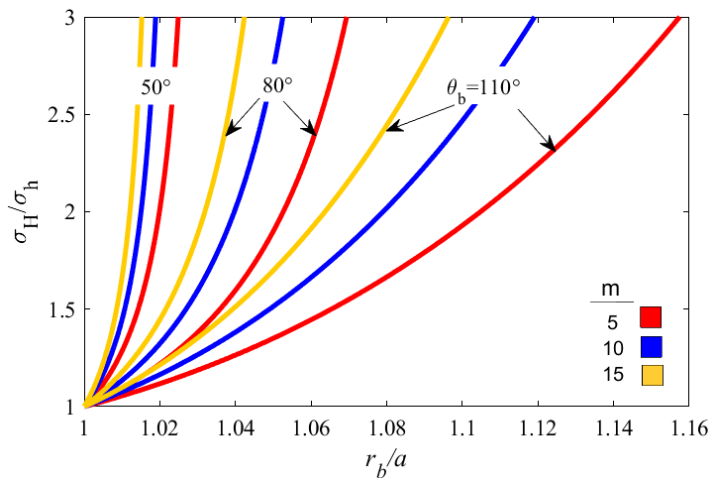
$$\sigma_1 = \sigma_3 + \sigma_{ci} \left( \frac{m_i \sigma_3}{\sigma_{ci}} + 1 \right)^{0.5} \quad (40)$$

با استفاده از این معیار و مشابه روندی که برای مدل خرابی موهر-کولمب انجام شد محاسبات مربوط به بدست آوردن گستره خرابی بریک-اوتن انجام می‌شود (شکل ۷). با توجه به اینکه معیار هوک-براؤن بر اساس تنش‌های اصلی می‌باشد ابتدا از روابط کرش تنش‌های اصلی بدست می‌آید و در رابطه هوک-براؤن جایگذاری می‌شود، به این ترتیب رابطه اصلی به صورت زیر بدست می‌آید (طریقه بدست آوردن رابطه زیر در ضمیمه آورده شده است):

$$\left[ (\sigma_\theta - \sigma_r)^2 + 4 \times \tau_{r\theta}^2 \right] = m \times \sigma_c \times \left[ \left( \frac{\sigma_\theta + \sigma_r}{2} \right) - \left( \left( \frac{\sigma_\theta - \sigma_r}{2} \right)^2 + \tau_{r\theta}^2 \right)^{1/2} \right] + \sigma_c^2 \quad (31)$$

از این به بعد و به منظور سادگی  $m_i = m$  و  $\sigma_{ci} = \sigma_c$  در نظر گرفته می‌شود.

حال باید مختصات دو نقطه A و B نشان داده شده در شکل ۳ بدست آورده شود، بر اساس توضیحات بیان شده در قسمت‌های قبلی برای نقطه B با جایگذاری مختصات این نقطه ارائه شده در روابط ۶ تا ۸ در رابطه ۳۱، روابط زیر به دست می‌آید.



شکل ۸. تغییرات نسبت تنش‌های برجا با نسبت  $r_b/a$  و عرض  $\theta_b$  برای سه زاویه اصطکاک مختلف (بر اساس معیار خرابی هوک-براون)

Fig. 8. The variation of the in-situ stresses ratio with  $r_b/a$  and  $\theta_b$  for three different friction angles (based on Hoek-Brown Failure criterion)

جدول ۲. مشخصات مکانیکی و تنش‌های برجای مختلف در سه حالت مختلف

Table 2. Mechanical and in-situ stresses ratio parameters for three different cases

حالات مختلف	$\sigma_c$ (MPa)	$m$	$\sigma_h$ (MPa)	$\sigma_H/\sigma_h$
۱	۹۰	۱۵	۴۵، ۴۰، ۳۵، ۳۰	۳، ۲/۵، ۲، ۱/۵
۲	۹۰	۲۵ و ۱۵، ۵	۳۵	۳، ۲/۵، ۲، ۱/۵
۳	۱۲۰ و ۹۰، ۶۰	۱۵	۳۵	۳، ۲/۵، ۲، ۱/۵

در رابطه ۴۵ عمق بریک-اویت گمانه حاصل می‌شود.

شکل ۸ نمودار رابطه‌های ۳۲ و ۴۰ برای سنگ با پارامتر  $m$  متغیر (۱۰، ۱۵ و ۲۵) است، این نمودار تغییرات نسبت عمق بریک-اویت به شعاع گمانه در برابر نسبت تنش‌های برجای افقی در عرض‌های ثابت از بریک-اویت ( $50^\circ$ ،  $80^\circ$  و  $110^\circ$ ) را نشان می‌دهد. در این شکل نیز مشاهده می‌شود که در حالت تنش‌های برجای همسان محدوده خرابی بریک-اویت تقریباً صفر است و با افزایش نسبت تنش‌های برجا محدوده خرابی عمیق‌تر و عریض‌تر می‌شود. این مجموعه نمودارها به علت استفاده از نسبت تنش‌های برجا، مستقل از مقاومت فشاری تکمحوری سنگ هستند.

۴-۱- اثر تنش‌های برجا و مشخصات مکانیکی سنگ بر روی نواحی خرابی بریک-اویت بر اساس معیار هوک-براون

در این قسمت نیز مطابق حالت قبل، شکل گرافیکی نواحی

$$a_r X^4 + b_r X^3 + c_r X^2 + d_r X + e_r X^0 = 0 \quad (46)$$

$$\left\{ 0 < \sqrt{X} \leq a \right\}$$

$$a_r = [3 \times (\sigma_H - \sigma_h)]^2 \quad (47)$$

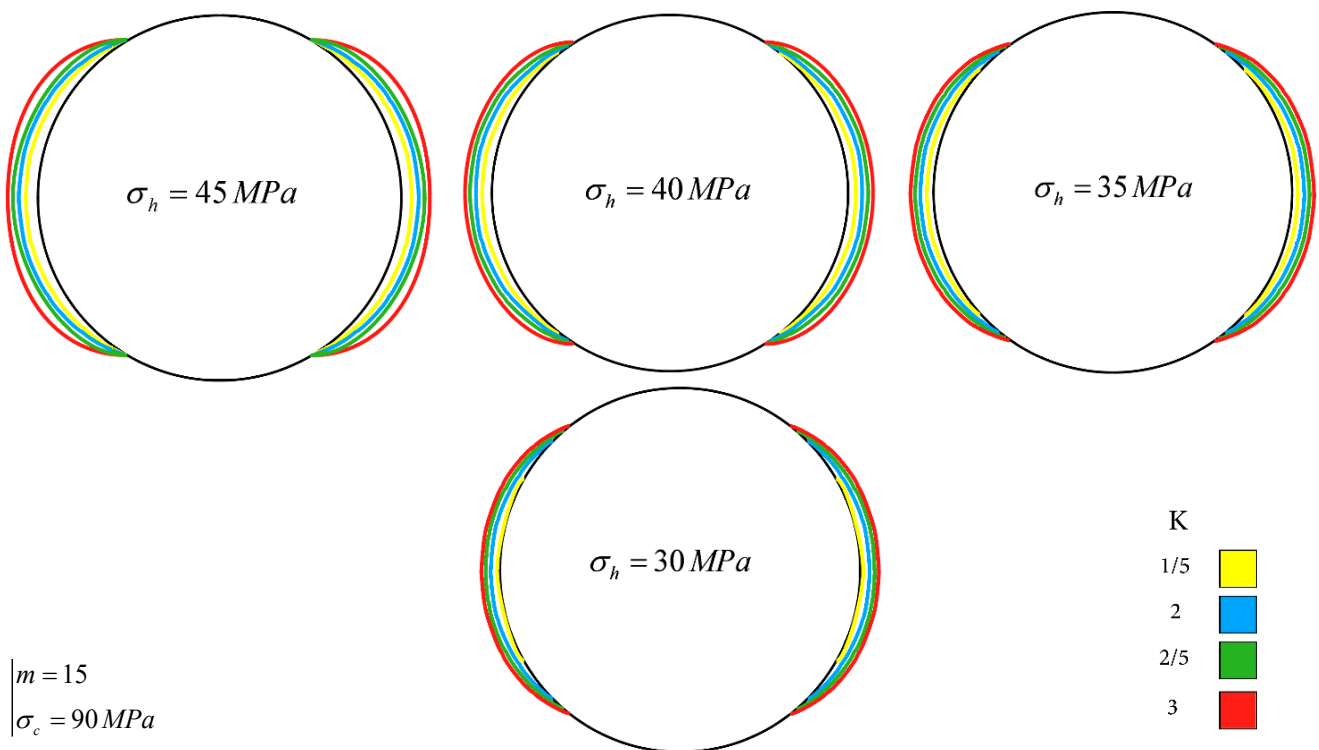
$$b_r = -6(\sigma_H - \sigma_h)(\sigma_H - 3\sigma_h) \quad (48)$$

$$c_r = (\sigma_H - 3\sigma_h)^2 + 6(\sigma_H - \sigma_h)^2 + 1.5m\sigma_c(\sigma_H - \sigma_h) \quad (49)$$

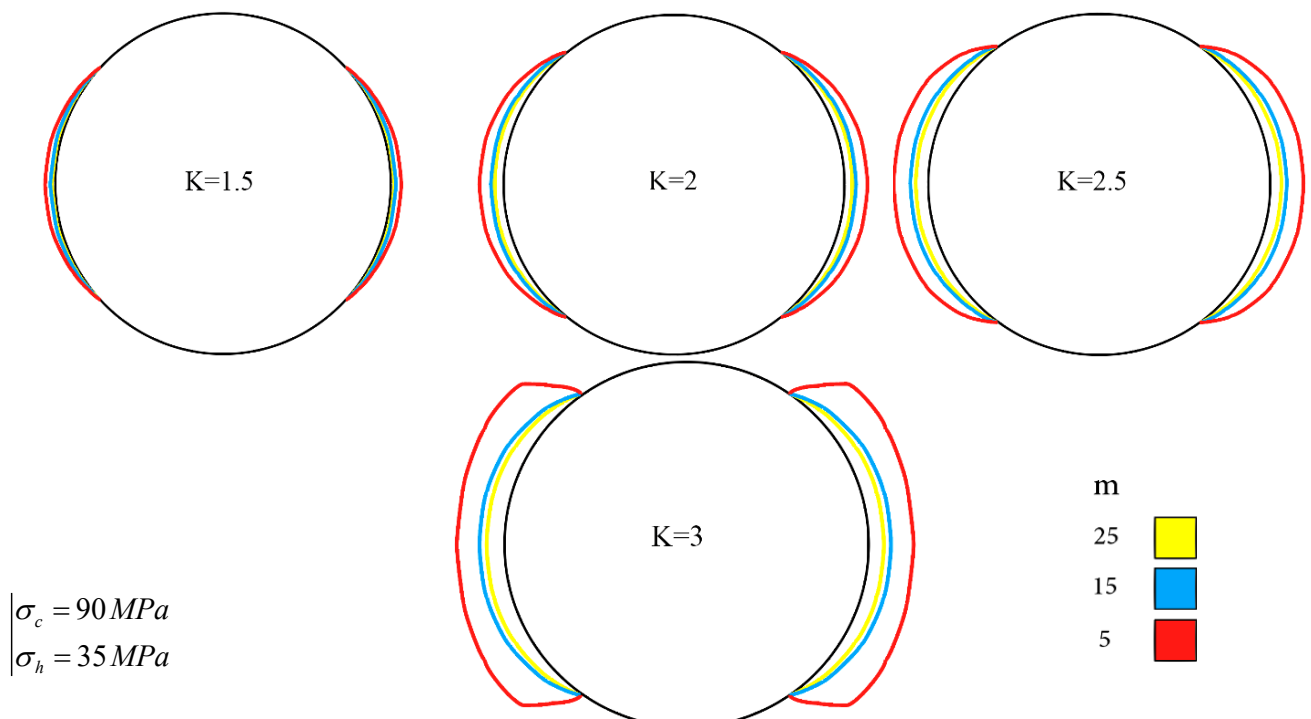
$$d_r = 2(3\sigma_h - \sigma_H)(\sigma_H - \sigma_h) - 0.5m\sigma_c(3\sigma_H - 5\sigma_h) \quad (50)$$

$$e_r = (\sigma_H - \sigma_h)^2 - (m\sigma_c\sigma_h + \sigma_c^2) \quad (51)$$

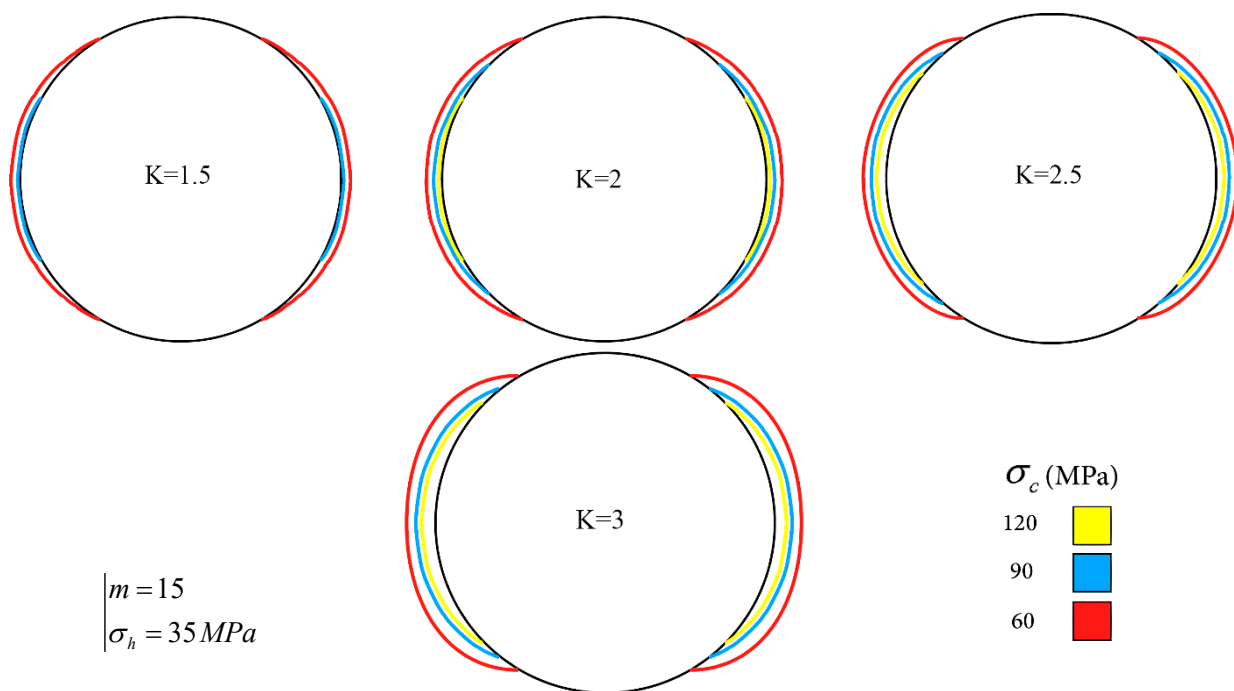
با حل معادله ۴۶ مقدار  $X = \rho^3$  به دست می‌آید که با جایگذاری



شکل ۹. نمایش محدوده خرابی بریک-اوتن برای مقادیر مختلف تنش‌های برجا و نسبت آن‌ها (مشخصات مکانیکی سنگ ثابت هستند)  
Fig. 9. The breakout failure zone for the different values of the in-situ stress ratios (mechanical properties are considered fixed)



شکل ۱۰. نمایش محدوده خرابی بریک-اوتن برای مقادیر مختلف نسبت تنش‌های برجا و پارامتر  $m$  (مقاومت فشاری تکمحوری و تنش افقی کوچک‌تر، ثابت هستند)  
Fig. 10. The breakout failure zone for the different values of the in-situ stress ratio and  $m$  parameter (uniaxial strength and minimum horizontal stress are considered fixed)



شکل ۱۱ نمایش محدوده خرابی بریک-اوت برای مقادیر مختلف نسبت تنש‌های برجا و مقاومت فشاری تکمحوری سنگ (پارامتر  $m$  و تنش افقی کوچک‌تر، ثابت هستند)

Fig. 11. The breakout failure zone for the different values of the in-situ stress ratio and uniaxial strength ( $m$  parameter and minimum horizontal stress are considered fixed)

جدول ۳. مقایسه عمق بریک-اوتن از لحاظ مشاهده و تئوری (موهر-کولمب و هوک-براون) در چاه ابرن نیویورک

Table 3. Comparison of observed and theoretical breakout maximum depth in Auburn, New York (Mohr-Coulomb and Hoek-Brown criterion)

H (m)	مشاهده شده			تئوری			
	$\theta_b (^\circ)$	$r_b / a$	$r_b (\text{mm})$	موهر-کولمب	$r_b / a$	$r_b (\text{mm})$	هوک-براون
۱۴۷۱/۹	۱۹	۱/۰۲۷	۱۱۵/۰	۱/۰۱۹	۱۱۴/۱	۱/۰۱۹	۱۱۴/۱
۱۴۷۳/۱	۲۰	۱/۰۶۳	۱۱۹/۱	۱/۰۲۲	۱۱۴/۵	۱/۰۲۱	۱۱۴/۴
۱۴۷۴/۶	۲۲	۱/۰۷۱	۱۲۰/۰	۱/۰۲۷	۱۱۵/۰	۱/۰۲۶	۱۱۴/۹
۱۴۷۶/۳	۱۵	۱/۰۲۷	۱۱۵/۰	۱/۰۱۲	۱۱۳/۳	۱/۰۱۲	۱۱۳/۳
۱۴۷۶/۳	۲۲	۱/۰۴۵	۱۱۷/۰	۱/۰۲۷	۱۱۵/۰	۱/۰۲۶	۱۱۴/۹

مکانیکی ثابت سنگ، در هر یک از مدل‌ها با افزایش نسبت تنش‌های برجا محدوده خرابی بریک-اوتن گستردگی شود، تغییرات در این حالت و با ثابت بودن مشخصات مکانیکی سنگ، نسبتاً کم است. در مدل‌های شکل ۱۰ و شکل ۱۱ اگرچه با افزایش نسبت تنش‌های برجا محدوده خرابی بزرگ‌تر شده، اما این تأثیر برای سنگ‌های با

خرابی بریک-اوتن رخ داده در پیرامون گمانه برای مشخصات مختلف تأثیرگذار بر اساس معیار هوک-براون آورده شده است. مشخصات انتخابی برای مقادیر تنش‌های برجا، پارامتر  $m$  و مقاومت فشاری تکمحوره سنگ  $\sigma_c$ ، مطابق با جدول ۲ می‌باشد. مطابق با نتایج نمایش داده شده در شکل ۹، برای مشخصات

جدول ۴. مشخصات مکانیکی سنگ در معیار هوک-براون برای سه سنگ A و C

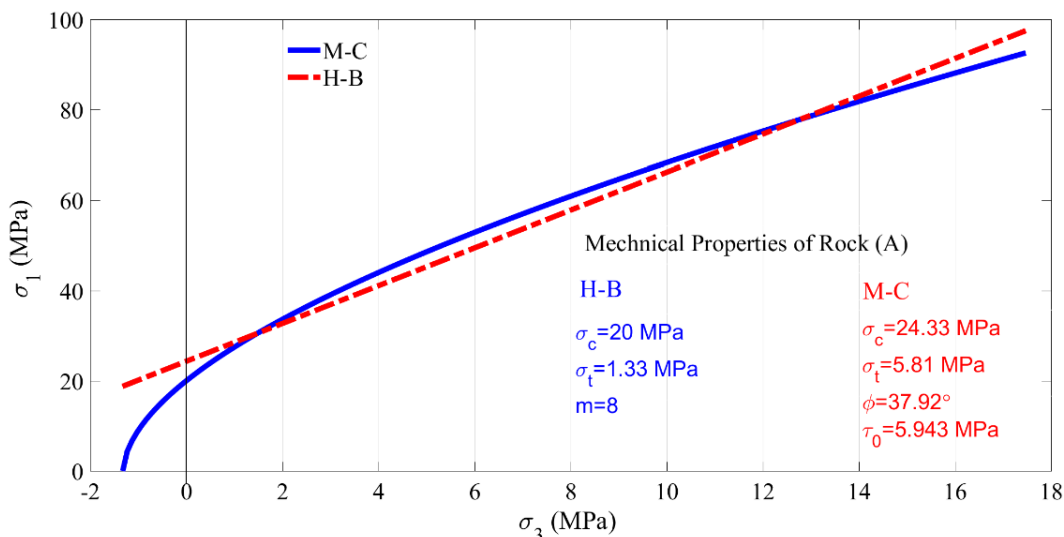
Table 4. Mechanical properties of rock in Hoek-Brown failure criterion for three types of rocks A, B, C

نوع سنگ	پارامتر $m$ در معیار هوک-براون	مقاومت فشاری تکمحوری (MPa)
A	۱۵	۲۰
B	۸	۱۵
C	۱۰	۲۵

جدول ۵. مشخصات مکانیکی سنگ در معیار موهر-کولمب برای سه سنگ A، B و C

Table 5. Mechanical properties of rock in Mohr-Coulomb failure criterion for three types of rocks A, B, C

نوع سنگ	زاویه اصطکاک داخلی (°)	چسبندگی (MPa)
A	۳۷/۹۲	۵/۴۹۳
B	۳۰/۰۴	۴/۷۶۷
C	۳۵/۷۵	۶/۶۶۲



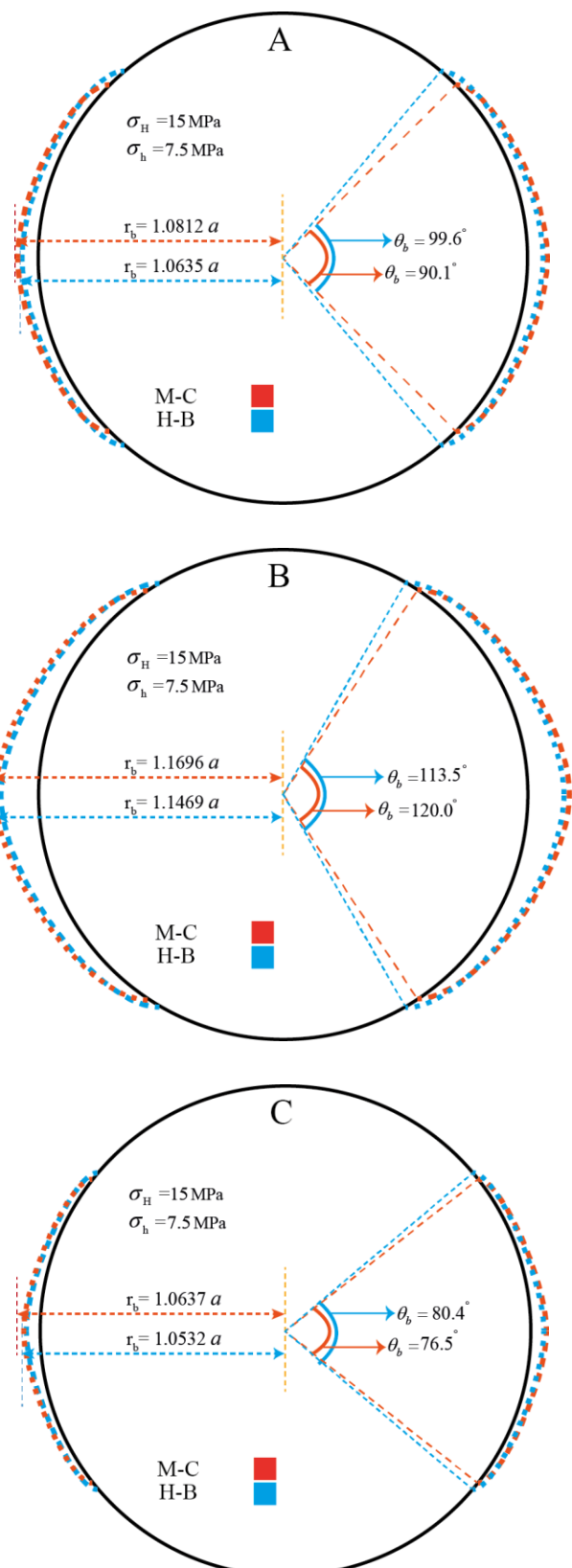
شکل ۱۲. بدست آوردن مشخصات مکانیکی سنگ براساس معیار موهر-کولمب از معیار هوک-براون برای سنگ A

Fig. 12. Obtain the mechanical properties of the rock based on the Mohr-Coulomb failure criterion of the Hoek-Brown failure criterion for type A rock

##### ۵- صحت سننجی

در جدول زیر عمق بریک اوت بدست آمده از دو روش تحلیلی فوق با عمق بریک اوت بدست آمده از داده های پنج مقطع از چاه ابرن<sup>۱</sup> نیویورک مقایسه شده است. قطر چاه ۲۲.۴ cm، عمق مورد

مشخصات مکانیکی ضعیف بسیار بیشتر است. نکته قابل توجه در شکل ۱۱ این است که عرض ناحیه خرابی بریک-اوت یعنی  $\theta_b$  در هریک از مدل های این شکل ثابت است، چون مطابق با رابطه ۴۴، این عرض به پارامتر  $m$  وابسته نیست و آنچه که در هر یک از مدل های این شکل متغیر است پارامتر  $m$  می باشد.



شکل ۱۳. مقایسه کمان‌های گسیختگی مطابق با دو معیار موهر- کولمب و هوک- براون برای سه نوع سنگ A، B و C

Fig. 13. Comparison of breakout zone according to Mohr-Coulomb and Hoek-Brown failure criteria for three types of rocks A, B, C

نظر چاه بین ۱۴۷۱ الی ۱۴۷۷ متری با مشخصات میانگین محیطی زاویه اصطکاک داخلی<sup>۰</sup> ۳۱، چسبندگی m, ۱۰ MPa پارامتر معیار هوک- براون ۴.۵ و مقاومت فشاری تکمحوری ۳۶ MPa می‌باشد. نسبت تنش‌های برجا بدست آمده از روش شکست هیدرولیکی برابر با ۲.۲۴ می‌باشد [۳]. همان‌طور که در جدول ۳ مشاهده می‌کنید، تطابق خوبی بین مشاهدات انجام‌شده با استفاده از داده‌های نمایشگر چاه<sup>۱</sup> و هر دو روش تئوری وجود دارد.

#### ۶- مقایسه نواحی خرابی بريک- اوت، بدست آمده از دو معیار موهر- کولمب و هوک- براون

در این بخش مقایسه نواحی خرابی بدست آمده از دو معیار فوق انجام می‌شود. البته انتظار می‌رود اگر در محدوده تنش‌های برجای مشخص دو معیار موهر- کولمب و هوک- براون نزدیک و معادل هم باشند، نواحی خرابی بدست آمده نیز باید یکسان باشند. بدین منظور سه نوع سنگ با مشخصات گوناگون مطابق با معیار هوک- براون مطابق با جدول ۳ انتخاب می‌شوند، برای این سه نوع سنگ چسبندگی و زاویه اصطکاک داخلی به نحوی انتخاب می‌شود که معیار موهر- کولمب معادل با هوک- براون شود، این محاسبات توسط نرم افزار متلب انجام شده است، نتیجه آنچه است که در جدول ۴ آورده شده است. انطباق دو معیار برای نمونه سنگ A در شکل ۱۲ آورده شده است. حال با مشخصات جدول ۳ و ۴ نواحی گسیختگی بريک- اوت برای هر سه نوع سنگ ترسیم می‌گردد که نتیجه در شکل ۱۳ دیده می‌شود. نتیجه آنست که انتظارش می‌رفت، عمق بريک- اوت برای هر سه نوع سنگ تقریباً یکسان است اما اختلاف در عرض بريک اوت در دو معیار وجود دارد و این اختلاف برای سنگ نوع A که داری مشخصات مکانیکی بالاتری است، بیشتر است. دلیل این اختلاف اینست که اختلاف دو معیار موهر- کولمب و هوک- براون در محل برخورد با محور عرضی در شکل ۱۲، که بیانگر مقاومت فشاری تک محوری سنگ است در حالت سنگ A نسبت به دو نوع سنگ دیگر بیشتر است، که البته با انتخاب محدوده نسبت تنش‌های برجای مناسب برای معادل سازی دو معیار می‌توان این اختلاف را نیز کم کرد.

## ۷- نتایج

- project, (2003) 1-5.
- [7] M.D. Zoback, Reservoir geomechanics, Cambridge University Press, 2010.
- [8] H. Kutter, Influence of drilling method on borehole breakouts and core disking, in: 7th ISRM Congress, International Society for Rock Mechanics and Rock Engineering, 1991.
- [9] L. Mastin, The development of borehole breakouts in sandstone, Master's thesis, in, Stanford Univ., Stanford, Calif, 1984.
- [10] R. Ewy, N. Cook, Deformation and fracture around cylindrical openings in rock—II. Initiation, growth and interaction of fractures, in: International journal of rock mechanics and mining sciences & geomechanics abstracts, Elsevier, 1990, pp. 409-427.
- [11] E. Papamichos, Sand production and well productivity in conventional reservoirs, Amadei, Kranz, Scott and Smeallie (eds) Rock mechanics for industry, Balkema Rotterdam, (1999) 209-215.
- [12] P. Van den Hoek, Prediction of different types of cavity failure using bifurcation theory, in: DC Rocks 2001, The 38th US Symposium on Rock Mechanics (USRMS), American Rock Mechanics Association, 2001.
- [13] A. Klaetsch, B. Haimson, Porosity-dependent fracture-like breakouts in St. Peter sandstone, Mining and tunneling innovation and opportunity, (2002) 1365-1371.
- [14] R. Cuss, E. Rutter, R. Holloway, Experimental observations of the mechanics of borehole failure in porous sandstone, International Journal of Rock Mechanics and Mining Sciences, 40(5) (2003) 747-761.
- [15] B. Haimson, Micromechanisms of borehole instability leading to breakouts in rocks, International Journal of Rock Mechanics and Mining Sciences, 44(2) (2007) 157-173.
- [16] E. Papamichos, J. Tronvoll, A. Skjærstein, T.E. Unander, Hole stability of Red Wildmoor sandstone under anisotropic stresses and sand production criterion, Journal of Petroleum Science and Engineering, 72(1-2) (2010) 78-92.

نوعی از خرابی پیرامون حفرات، بالاخص گمانه‌های نفتی در اعماق زیاد، خرابی برقی- اوت می‌باشد. این خرابی در امتداد تنش برجای افقی کوچک‌تر ایجاد می‌شود و در اثر تنش‌های برشی ناشی از فشار پیرامون گمانه رخ می‌دهد. در این مقاله مطابق با دو معیار خرابی معروف در سنگ، معیار موهر- کولمب و هوک- براون به تحلیل ریاضی این پدیده پرداخته شد و گستره خرابی در پیرامون گمانه مطابق با این دو معیار بدست آمد. هم مقدار و هم نسبت تنش‌های برجا، دو عامل مؤثر در شکل‌گیری و توسعه نواحی خرابی برقی- اوت در پیرامون گمانه هستند. اگر نسبت تنش‌های برجا، یک باشد، هیچ ناحیه خرابی در پیرامون گمانه رخ نمی‌دهد و با افزایش نسبت تنش‌های برجا عمق خرابی افزایش می‌یابد. در کنار این دو عامل مشخصات مکانیکی سنگ، مطابق با معیار خرابی انتخاب شده، فاکتور مؤثر دیگر در عمق و عرض برقی- اوت می‌باشد. به نحوی که با ضعیف شدن مشخصات مکانیکی سنگ، ناحیه خرابی برقی- اوت بزرگ می‌شود.

## مراجع

- [1] A. Zang, O. Stephansson, Rock fracture criteria, in: Stress Field of the Earth's Crust, Springer, 2010, pp. 37-62.
- [2] J. Bell, D. Gough, Northeast-southwest compressive stress in Alberta evidence from oil wells, Earth and planetary science letters (1979).
- [3] M.D. Zoback, D. Moos, L. Mastin, R.N. Anderson, Well bore breakouts and in situ stress, Journal of Geophysical Research: Solid Earth, 90(B7) (1985) 5523-5530
- [4] R.A. Plumb, S.H. Hickman, Stress-induced borehole elongation: A comparison between the four-arm dipmeter and the borehole televiewer in the Auburn geothermal well, Journal of Geophysical Research: Solid Earth, 90(B7) (1985) 5513-5521.
- [5] H. Haimson, C. Herrick, Borehole breakouts-a new tool for estimating in situ stress?, in: ISRM International Symposium, International Society for Rock Mechanics and Rock Engineering, 1986.
- [6] J. Reinecker, M. Tingay, B. Müller, Borehole breakout analysis from four-arm caliper logs, World stress map

- of rock mechanics, John Wiley & Sons, 2009.
- [28] E. Hoek, C. Carranza-Torres, B. Corkum, Hoek-Brown failure criterion-2002 edition, Proceedings of NARMS-Tac, 1(1) (2002) 267-273.
- ضمیمه**
- طریقه بدست آوردن رابطه ۳۱:
- می‌توان معیار هوک-براؤن را به صورت زیر بازنویسی کرد:
- $$(\sigma_1 - \sigma_3)^2 = (\sigma_c m \sigma_3 + \sigma_c^2) \quad (1\text{ض})$$
- با کمک روابط حاکم بر دایره مور، می‌توان تنش‌های  $\sigma_1$  و  $\sigma_3$  را بر حسب  $\sigma_r$ ,  $\sigma_\theta$  و  $\tau_{r\theta}$  به شکل زیر نوشت (این روابط یک دستگاه دو معادله و دو مجهول بر حسب دو متغیر  $\sigma_1$  و  $\sigma_3$  هستند):
- $$\begin{cases} \sigma_1 - \sigma_3 = 2\sqrt{\left(\frac{\sigma_\theta - \sigma_r}{2}\right)^2 + \tau_{r\theta}^2} \\ \sigma_1 + \sigma_3 = \sigma_\theta + \sigma_r \end{cases} \quad (2\text{ض})$$
- $$\Rightarrow \begin{cases} \sigma_1 = \sqrt{\left(\frac{\sigma_\theta - \sigma_r}{2}\right)^2 + \tau_{r\theta}^2} + \frac{\sigma_\theta + \sigma_r}{2} \\ \sigma_3 = \frac{\sigma_\theta + \sigma_r}{2} - \sqrt{\left(\frac{\sigma_\theta - \sigma_r}{2}\right)^2 + \tau_{r\theta}^2} \end{cases}$$
- با جایگذاری روابط (2ض) در رابطه (1ض) و ساده‌سازی آن رابطه حاصل می‌گردد:
- $$\begin{aligned} & \left( 2\sqrt{\left(\frac{\sigma_\theta - \sigma_r}{2}\right)^2 + \tau_{r\theta}^2} \right)^2 = \\ & (\sigma_c m \left( \frac{\sigma_\theta + \sigma_r}{2} - \sqrt{\left(\frac{\sigma_\theta - \sigma_r}{2}\right)^2 + \tau_{r\theta}^2} \right) + \sigma_c^2) \\ & \Rightarrow \left[ (\sigma_\theta - \sigma_r)^2 + 4 \times \tau_{r\theta}^2 \right] = m \times \sigma_c \times \\ & \left[ \left( \frac{\sigma_\theta + \sigma_r}{2} \right) - \left( \left( \frac{\sigma_\theta - \sigma_r}{2} \right)^2 + \tau_{r\theta}^2 \right)^{1/2} \right] + \sigma_c^2 \end{aligned} \quad (31)$$
- [17] H. Lee, T. Moon, B. Haimson, Borehole breakouts induced in Arkosic sandstones and a discrete element analysis, Rock Mechanics and Rock Engineering, 49(4) (2016) 1369-1388.
- [18] I. Song, Borehole breakouts and core disking in westerly granite: mechanisms of formation and relationship in situ stress, University of Wisconsin--Madison, 1998.
- [19] H. Lee, Borehole breakouts in arkosic sandstones and quartz-rich sandstones, The University of Wisconsin-Madison, 2005.
- [20] E. Leeman, The measurement of stress in rock: Part I: The principles of rock stress measurements, Journal of the Southern African Institute of Mining and Metallurgy, 65(2) (1964) 45-81.
- [21] D. Gough, J. Bell, Stress orientations from borehole wall fractures with examples from Colorado, east Texas, and northern Canada, Canadian Journal of Earth Sciences, 19(7) (1982) 1358-1370.
- [22] B.C. Haimson, J.N. Edl Jr, Hydraulic fracturing of deep wells, in: Fall Meeting of the Society of Petroleum Engineers of AIME, Society of Petroleum Engineers, 1972.
- [23] M. Mansourizadeh, M. Jamshidian, P. Bazargan, O. Mohammadzadeh, Wellbore stability analysis and breakout pressure prediction in vertical and deviated boreholes using failure criteria-A case study, Journal of Petroleum Science and Engineering, 145 (2016) 482-492.
- [24] H. Kim, L. Xie, K.-B. Min, S. Bae, O. Stephansson, Integrated in situ stress estimation by hydraulic fracturing, borehole observations and numerical analysis at the EXP-1 borehole in Pohang, Korea, Rock Mechanics and Rock Engineering, 50(12) (2017) 3141-3155.
- [25] H. Zhang, S. Yin, B.S. Aadnoy, Poroelastic modeling of borehole breakouts for in-situ stress determination by finite element method, Journal of Petroleum Science and Engineering, 162 (2018) 674-684.
- [26] S. Khatibi, A. Aghajanpour, M. Ostadhassan, O. Farzay, Evaluating Single-Parameter parabolic failure criterion in wellbore stability analysis, Journal of Natural Gas Science and Engineering, 50 (2018) 166-180.
- [27] J.C. Jaeger, N.G. Cook, R. Zimmerman, Fundamentals

چگونه به این مقاله ارجاع دهیم

A. Lakirouhani, J.A. Abbassi, *Determination of breakout failure zone around the borehole using the Mohr-Coulomb and Hoek-Brown failure criteria, Amirkabir J. Civil Eng.*, 52(5) (2020) 1109-1126.

DOI: [10.22060/ceej.2019.15233.5856](https://doi.org/10.22060/ceej.2019.15233.5856)



